

文章编号: 1001-0920(2012)11-1621-06

# 离散时间 Lipschitz 非线性时变时滞系统 $H_\infty$ 估计: Krein 空间方法

赵辉宏, 张承慧

(山东大学控制科学与工程学院, 济南 250061)

**摘要:** 研究一类离散时间 Lipschitz 非线性时变时滞系统的  $H_\infty$  估计问题. 通过状态扩展方法, 将时变时滞系统转化为具有时变参数的无时滞系统. 结合  $H_\infty$  性能指标和 Lipschitz 非线性条件, 构造不定二次型并建立与 Krein 空间  $H_2$  估计的联系. 运用新息分析方法和 Krein 空间投影公式, 给出了  $H_\infty$  估计器存在的充分条件和基于 Riccati 方程的估计器递推算法. 最后, 通过仿真算例验证了所提出算法的有效性.

**关键词:** Lipschitz 非线性时变时滞系统;  $H_\infty$  估计; Krein 空间; 新息分析

中图分类号: TP273

文献标志码: A

## $H_\infty$ estimation for discrete-time Lipschitz nonlinear time-varying delay systems: Krein space approach

ZHAO Hui-hong, ZHANG Cheng-hui

(School of Control Science and Engineering, Shandong University, Ji'nan 250061, China. Correspondent: ZHANG Cheng-hui, E-mail: zchui@sdu.edu.cn)

**Abstract:** The  $H_\infty$  estimation problem is investigated for a class of discrete-time Lipschitz nonlinear time-varying delay systems. By using state augmentation approach, the time-varying delay system is converted into a delay free system with time-varying parameters. Combing  $H_\infty$  performance with Lipschitz nonlinear conditions, an indefinite quadratic form is constructed and a relation is built with Krein space  $H_2$  estimation. By applying innovation analysis approach and Krein space projection formula, a sufficient condition for the existence of the  $H_\infty$  estimator is proposed and the estimator is derived in terms of Riccati difference equations. Finally, the effectiveness of the proposed algorithm is illustrated through a numerical example.

**Key words:** Lipschitz nonlinear time-varying delay systems;  $H_\infty$  estimation; Krein space; innovation analysis

## 1 引言

非线性是实际控制系统中存在的普遍特性, 而信号估计是进行输出(不完全状态)反馈控制、信号处理、故障诊断等理论研究的必要条件, 因此, 非线性系统状态估计问题研究一直是控制理论领域的研究热点<sup>[1-4]</sup>. Lipschitz 非线性系统是一类同时包含可观测线性部分和 Lipschitz 非线性部分的非线性系统. 自从 1973 年 Thau 等<sup>[1]</sup>首次对其状态观测器研究以来, 该研究引起了国内外学者的广泛关注<sup>[1, 5-7]</sup>. 近年来, 有大量关于时滞 Lipschitz 非线性系统的状态估计问题的研究出现, 主要有类 Lyapunov 函数<sup>[8]</sup>、滑模观测器<sup>[9]</sup>、 $H_\infty$  滤波器<sup>[10-11]</sup>和  $L_2-L_\infty$  滤波器<sup>[11]</sup>等方

法. 相对于具有定常时滞的 Lipschitz 非线性系统, 关于时变时滞 Lipschitz 非线性系统的状态估计研究还比较少<sup>[11-14]</sup>. 文献 [11-12] 研究了具有时变时滞的不确定 Lipschitz 非线性连续系统的鲁棒滤波问题, 但未考虑状态、时滞状态和未知扰动的联合估计问题; [13] 分别给出了离散时间 Lipschitz 非线性定常时滞系统和离散时间 Lipschitz 非线性时变时滞系统的观测器设计方法, 但未考虑所设计观测器的鲁棒性, 且其输出方程是线性的; [14] 利用 Lyapunov 函数、Finsler 引理和自由加权参数矩阵, 设计了非线性  $H_\infty$  和  $L_2-L_\infty$  滤波器, 但所考虑的输出方程是线性的. 综上所述, 关于 Lipschitz 非线性时变时滞系统的状态估计问题的研究还刚刚起步, 其理论和方法有待于进一

收稿日期: 2011-05-09; 修回日期: 2011-08-04.

基金项目: 国家自然科学基金项目(61034007, 60774004); 山东省自然科学基金项目(Z2007G01).

作者简介: 赵辉宏(1980-), 男, 博士生, 从事非线性时滞系统鲁棒估计和控制的研究; 张承慧(1963-), 男, 教授, 博士生导师, 从事工程优化控制、自适应控制等研究.

步发展和完善.

20 世纪 90 年代, Babak Hassibi 等<sup>[15]</sup>提出了一种 Krein 空间线性估计理论. 该方法的核心思想是: 根据 Krein 空间投影问题的解与 Hilbert 空间二次型最小化问题的解形式相同, 应用 Krein 空间 Kalman 滤波理论解决 Hilbert 空间二次型最小化问题. 由于  $H_\infty$  滤波问题可转化为不定二次型最小值正定性问题, 文献 [15] 中的结果完美地解决了线性系统的  $H_\infty$  滤波问题, 但其尚不能直接拓展到非线性系统领域. 本文研究了一类离散时间 Lipschitz 非线性时变时滞系统的  $H_\infty$  状态、时滞状态和未知扰动的联合估计问题. 通过状态扩展, 将时滞系统转化为具有时变参数的无时滞系统; 基于  $H_\infty$  性能指标和 Lipschitz 非线性条件, 构造不定二次型并建立与 Krein 空间线性估计理论<sup>[15]</sup>的联系; 运用新息分析方法<sup>[16]</sup>和 Krein 空间投影公式, 给出基于 Riccati 方程的  $H_\infty$  估计器设计方案. 所得结果拓展了 Krein 空间线性估计理论的应用领域, 同时为离散时间 Lipschitz 非线性时变时滞系统  $H_\infty$  估计问题提供了一种新的解决方法.

在下文中, 当 Krein 空间和 Hilbert 空间中的元素满足相同的约束时, 用  $x$  表示 Krein 空间元素, 用  $x$  表示 Hilbert 空间元素.

## 2 问题描述

考虑如下离散时间非线性时变时滞系统:

$$\begin{cases} x(k+1) = Ax(k) + A_d x(k_{d(k)}) + B_w w(k) + \\ \quad B_f f(x(k), x(k_{d(k)}), u(k)); \\ y(k) = Cx(k) + C_d x(k_{d(k)}) + D_w w(k) + \\ \quad D_g g(x(k), x(k_{d(k)}), u(k)); \\ z(k) = Lx(k) + L_d x(k_{d(k)}) + L_w w(k); \\ x(\theta) = \varphi(\theta), \theta \in [-\bar{d}, 0]. \end{cases} \quad (1)$$

其中:  $x(k) \in \mathbf{R}^n$  为系统状态;  $u(k) \in \mathbf{R}^m$  为控制输入;  $w(k) \in \mathbf{R}^q$  为满足  $l_2[0, N]$  的外部扰动;  $y(k) \in \mathbf{R}^p$  为测量输出;  $z(k) \in \mathbf{R}^r$  为待估计信号;  $A, A_d, B_w, B_f, C, C_d, D_w, D_g, L, L_d$  和  $L_w$  为具有适当维数的已知矩阵;  $\varphi(\theta)$  为初值函数;  $k_{d(k)} = k - d(k)$ ;  $d(k)$  为已知系统时变时滞, 且  $d(k) \in [d, \bar{d}]$ ,  $\bar{d} \geq d > 0$ ;  $f(\cdot) : \mathbf{R}^n \times \mathbf{R}^n \times \mathbf{R}^m \mapsto \mathbf{R}^n$ ,  $g(\cdot) : \mathbf{R}^n \times \mathbf{R}^n \times \mathbf{R}^m \mapsto \mathbf{R}^n$  为已知非线性向量函数, 且  $\forall k \in [0, N], \forall u(k) \in \mathbf{R}^m, \forall x, \hat{x}, \tilde{x}, \hat{\tilde{x}} \in \mathbf{R}^n$ , 满足如下 Lipschitz 条件:

$$\begin{aligned} f(0, 0, u(k)) &= 0, \\ \|f(x, \tilde{x}, u) - f(\hat{x}, \hat{\tilde{x}}, u)\| &\leq \alpha \|F(x - \hat{x}) + F_d(\tilde{x} - \hat{\tilde{x}})\|, \\ \|g(x, \tilde{x}, u) - g(\hat{x}, \hat{\tilde{x}}, u)\| &\leq \beta \|G(x - \hat{x}) + G_d(\tilde{x} - \hat{\tilde{x}})\|. \end{aligned} \quad (2)$$

其中: 标量  $\alpha > 0, \beta > 0$  为已知 Lipschitz 常数;  $F, F_d,$

$G$  和  $G_d$  为适当维数的已知矩阵.

**假设 1** 假设矩阵  $D_g$  行满秩.

**注 1** 对于  $D_g$  不是行满秩的情形, 可将输出方程中  $D_g g(\cdot)$  等价表示为  $\bar{D}_g \bar{g}(\cdot)$ . 其中:  $\bar{D}_g = [D_g \ I]$ ,  $\bar{g}(\cdot) = [g^T(\cdot) \ g_1^T(\cdot)]^T$ , 且  $g_1(\cdot) \equiv 0$ . 显然,  $\bar{g}(\cdot)$  依然满足 Lipschitz 条件 (2), 且  $\bar{D}_g$  行满秩.

本文研究的主要问题是: 给定标量  $\gamma > 0$ , 基于测量输出序列  $\{y(i)\}_{i=0}^k$ , 求信号  $z(k)$  的一个估计  $\check{z}(k|k) = \mathcal{L}\{\{y(i)\}_{i=0}^k\}$ , 使其满足

$$\sup_{(\varphi, w) \neq 0} \frac{\Theta(N)}{\Delta(N)} < \gamma^2. \quad (3)$$

其中

$$\begin{aligned} \Theta(N) &= \sum_{k=0}^N \|\check{z}(k|k) - z(k)\|^2, \\ \Delta(N) &= \sum_{i=-\bar{d}}^0 \|\varphi(i) - \check{\varphi}(i)\|_{\Pi^{-1}(i)}^2 + \sum_{k=0}^N \|w(k)\|^2. \end{aligned}$$

这里:  $\Pi(i)$  为给定正定矩阵, 反映初始状态估计  $\check{\varphi}(i)$  关于初始状态  $\varphi(i)$  的不确定程度, 且不失一般性令  $\check{\varphi}(i) = 0$ .

## 3 主要结论

首先, 通过引入 Kronecker delta 函数  $\delta_{ij}$  (即当  $i \neq j$  时,  $\delta_{ij} = 0$ ; 当  $i = j$  时,  $\delta_{ij} = 1$ ), 可将时变时滞系统 (1) 转化为如下定常时滞系统:

$$\begin{cases} x(k+1) = Ax(k) + \sum_{i=\underline{d}}^{\bar{d}} \delta_{id(k)} A_d x(k_i) + B_w w(k) + \\ \quad B_f f\left(x(k), \sum_{i=\underline{d}}^{\bar{d}} \delta_{id(k)} x(k_i), u(k)\right); \\ y(k) = Cx(k) + \sum_{i=\underline{d}}^{\bar{d}} \delta_{id(k)} C_d x(k_i) + D_w w(k) + \\ \quad D_g g\left(x(k), \sum_{i=\underline{d}}^{\bar{d}} \delta_{id(k)} x(k_i), u(k)\right); \\ z(k) = Lx(k) + \sum_{i=\underline{d}}^{\bar{d}} \delta_{id(k)} L_d x(k_i) + L_w w(k); \\ x(\theta) = \varphi(\theta), \theta \in [-\bar{d}, 0]. \end{cases} \quad (4)$$

然后, 应用经典的定常时滞系统状态扩维方法, 可将系统 (4) 转化为如下具有时变参数的无时滞系统:

$$\begin{cases} x_a(k+1) = A_a(k)x_a(k) + B_{a,w}w(k) + \\ \quad B_{a,f}f(x_a(k), u(k)), \\ y(k) = C_a(k)x_a(k) + D_w w(k) + \\ \quad D_g g(x_a(k), u(k)), \\ z(k) = L_a(k)x_a(k) + L_w w(k), \\ x_a(0) = \varphi_a(0). \end{cases} \quad (5)$$

其中

$$x_a(k) = [x^T(k) \ x^T(k-1) \ \cdots \ x^T(k-\bar{d})]^T;$$

$$\varphi_a(0) = [\varphi^T(0) \ \varphi^T(-1) \ \cdots \ \varphi^T(-\bar{d})]^T;$$

$$B_{a,w} = [B_w^T \ 0 \ 0 \ \cdots \ 0]^T;$$

$$A_a(k) = \begin{bmatrix} A & 0 & \cdots & 0 & \phi(\underline{d}) & \cdots & \phi(\bar{d}-1) & \phi(\bar{d}) \\ I & 0 & \cdots & 0 & 0 & \cdots & 0 & 0 \\ 0 & I & \cdots & 0 & 0 & \cdots & 0 & 0 \\ \vdots & \vdots & \ddots & \vdots & \vdots & \cdots & \vdots & \vdots \\ \vdots & \vdots & \cdots & \ddots & \vdots & \cdots & \vdots & \vdots \\ \vdots & \vdots & \cdots & \vdots & \ddots & \cdots & \vdots & \vdots \\ \vdots & \vdots & \cdots & \vdots & \vdots & \ddots & \vdots & \vdots \\ 0 & 0 & \cdots & 0 & 0 & \cdots & I & 0 \end{bmatrix};$$

$$\phi(j) = \delta_{jd(k)}A_d, \ j \in [\underline{d}, \bar{d}];$$

$$C_a(k) = [C \ 0 \ \cdots \ 0 \ \vartheta(\underline{d}) \ \cdots \ \vartheta(\bar{d}-1) \ \vartheta(\bar{d})];$$

$$\vartheta(j) = \delta_{jd(k)}C_d, \ j \in [\underline{d}, \bar{d}];$$

$B_{a,f}$  可由  $B_f$  代替  $B_{a,w}$  中的  $B_w$  获得;  $L_a(k)$  可由  $L$  和  $L_d$  分别代替  $C_a(k)$  中的  $C$  和  $C_d$  获得.

**注 2** 关于系统中非线性部分的状态扩展问题, 可通过引入参数矩阵的方法解决. 例如: 若  $f(\cdot) = \cos(x^T(k)x(k_d(k)))$ , 则本文可引入矩阵

$$M_1 = [I \ 0 \ \cdots \ 0 \ 0],$$

$$M_2(k) =$$

$$[0 \ \cdots \ 0 \ \delta_{\underline{d}d(k)}I \ \delta_{(\underline{d}+1)d(k)}I \ \cdots \ \delta_{\bar{d}d(k)}I],$$

将其表示为  $\cos((M_1x_a(k))^T(M_2(k)x_a(k)))$  的形式.

进一步, 给出如下符号定义:

$$w_f(k) = f(x_a(k), u(k)) - f(\check{x}_a(k|k), u(k)),$$

$$w_g(k) = g(x_a(k), u(k)) - g(\check{x}_a(k), u(k)),$$

$$\check{z}_f(k|k) = F_a(k)\check{x}_a(k|k),$$

$$\check{z}_g(k) = G_a(k)\check{x}_a(k),$$

$$v_f(k) = \check{z}_f(k|k) - F_a(k)x_a(k),$$

$$v_g(k) = \check{z}_g(k) - G_a(k)x_a(k),$$

$$v_z(k) = \check{z}(k|k) - z(k). \tag{6}$$

其中:  $F_a(k)$  可由  $F$  和  $F_d$  分别代替  $C_a(k)$  中的  $C$  和  $C_d$  获得;  $G_a(k)$  可由  $G$  和  $G_d$  分别代替  $C_a(k)$  中的  $C$  和  $C_d$  获得.

**注 3** 式 (6) 中  $\check{x}_a(k|k)$  和  $\check{x}_a(k)$  分别表示状态向量  $x_a(k)$  基于输出序列  $\{y(i)\}_{i=0}^k$  和  $\{y(i)\}_{i=0}^{k-1}$  的估计值. 因此, 在本文所设计的递推算法中, 假设在  $k$  时刻  $f(\check{x}_a(k|k), u(k))$  和  $g(\check{x}_a(k+1), u(k+1))$  为已知输入项是合理的.

根据文献 [15], 可将问题 (3) 等价为

$$J_N = \Delta(N) - \gamma^{-2}\Theta(N) > 0, \ \forall(\varphi, w) \neq 0. \tag{7}$$

考虑到 Lipschitz 条件 (2), 定义一个新的不定二次型:

$$J_N^* = J_N + \sum_{k=0}^N \|w_f(k)\|^2 - \alpha^2 \sum_{k=0}^N \|v_f(k)\|^2 + \sum_{k=0}^{N+1} \|w_g(k)\|^2 - \beta^2 \sum_{k=0}^{N+1} \|v_g(k)\|^2. \tag{8}$$

由式 (2) 中的 Lipschitz 条件和 (6) 中的符号定义可知  $J_N^* \leq J_N$ . 进一步, 若  $\forall(\varphi, w) \neq 0$ , 存在  $\{\check{z}(k|k)\}_{k=0}^N$ ,  $\{\check{z}_f(k|k)\}_{k=0}^N$  和  $\{\check{z}_g(k)\}_{k=0}^{N+1}$  使  $J_N^* > 0$ , 则有  $J_N > 0$ . 因此, 本文首先求出不定二次型  $J_N^*$  关于  $(\varphi, w)$  的最小值  $\min J_N^*$ ; 进而寻求估计  $\{\check{z}(k|k)\}_{k=0}^N$ ,  $\{\check{z}_f(k|k)\}_{k=0}^N$  和  $\{\check{z}_g(k)\}_{k=0}^{N+1}$  使  $\min J_N^* > 0$  来设计满足性能指标 (3) 的  $H_\infty$  估计器. 而不定二次型最小值问题可通过 Krein 空间投影方法求解<sup>[15]</sup>.

首先, 引入如下 Krein 空间随机系统:

$$\begin{cases} x_a(k+1) = A_a(k)x_a(k) + B_{a,w}w(k) + B_{a,f}f(\check{x}_a(k|k), u(k)) + B_{a,f}w_f(k), \\ y(k) = C_a(k)x_a(k) + D_w w(k) + D_g w_g(k) + D_g g(\check{x}_a(k), u(k)), \\ \check{z}(k|k) = L_a(k)x_a(k) + L_w w(k) + v_z(k), \\ \check{z}_f(k|k) = F_a(k)x_a(k) + v_f(k), \\ \check{z}_g(k+1) = G_a(k+1)x_a(k+1) + v_g(k+1). \end{cases} \tag{9}$$

其中:  $x_a(0), w(k), w_f(k), w_g(k), v_z(k), v_f(k)$  和  $v_g(k)$  为 Krein 空间均值为零的互不相关白噪声向量, 方差分别为

$$\langle x_a(0), x_a(0) \rangle = \Pi_a(0) = \text{diag}\{\Pi(0), \dots, \Pi(-\bar{d})\},$$

$$\langle w(i), w(j) \rangle = I\delta_{ij},$$

$$\langle w_f(i), w_f(j) \rangle = I\delta_{ij},$$

$$\langle w_g(i), w_g(j) \rangle = I\delta_{ij},$$

$$\langle v_z(i), v_z(j) \rangle = -\gamma^2 I\delta_{ij},$$

$$\langle v_f(i), v_f(j) \rangle = -\alpha^{-2} I\delta_{ij},$$

$$\langle v_g(i), v_g(j) \rangle = -\beta^{-2} I\delta_{ij}.$$

**注 4** 系统 (9) 中的  $\check{z}(k|k), \check{z}_f(k|k)$  和  $\check{z}_g(k)$  为本文引入的虚拟输入项, 它们可通过下文中的递推算法获得.

$$\text{令 } \check{z}_m(k|k) = [\check{z}^T(k|k) \ \check{z}_f^T(k|k)]^T, \text{ 则有}$$

$$\check{z}_m(k|k) = L_m(k)x_a(k) + L_{m,w}w(k) + v_m(k). \tag{10}$$

其中

$$L_m(k) = [L_a^T(k) \ F_a^T(k)]^T, \ L_{m,w} = [L_w^T \ 0]^T,$$

$$v_m(k) = [v_z^T(k) \ v_f^T(k)]^T.$$

**定义 1** 对于  $\forall k \in [0, N]$ ,  $\hat{y}(k)$  表示  $y(k)$  在线性空间  $\mathcal{L}\{y(i), \check{z}_m(i|i), \check{z}_g(i)\}_{i=0}^{k-1}, \check{z}_g(k)\}$  上的 Krein

空间投影;  $\hat{z}_m(k|k)$  表示  $\check{z}_m(k|k)$  在线性空间  $\mathcal{L}\{\{\mathbf{y}(i), \check{z}_m(i|i), \check{z}_g(i)\}_{i=0}^{k-1}, \check{z}_g(k), \mathbf{y}(k)\}$  上的 Krein 空间投影;  $\hat{z}_g(k+1)$  表示  $\check{z}_g(k+1)$  在线性空间  $\mathcal{L}\{\{\mathbf{y}(i), \check{z}_m(i|i), \check{z}_g(i)\}_{i=0}^k\}$  上的 Krein 空间投影.

进一步, 引入如下随机变量及其方差矩阵:

$$\begin{aligned} \tilde{\mathbf{y}}(i) &= \mathbf{y}(i) - \hat{\mathbf{y}}(i), R_{\tilde{\mathbf{y}}}(i) = \langle \tilde{\mathbf{y}}(i), \tilde{\mathbf{y}}(i) \rangle, \\ \tilde{z}_m(i|i) &= \check{z}_m(i|i) - \hat{z}_m(i|i), \\ R_{\tilde{z}_m}(i|i) &= \langle \tilde{z}_m(i|i), \tilde{z}_m(i|i) \rangle, \\ \tilde{z}_g(i) &= \check{z}_g(i) - \hat{z}_g(i), R_{\tilde{z}_g}(i) = \langle \tilde{z}_g(i), \tilde{z}_g(i) \rangle. \end{aligned} \quad (11)$$

**引理 1**  $\{\tilde{z}_g(i), \tilde{\mathbf{y}}(i), \tilde{z}_m(i|i)\}_{i=0}^k$  为新息序列, 且构成的线性空间等价于

$$\mathcal{L}\{\{\check{z}_g(i), \mathbf{y}(i), \check{z}_m(i|i)\}_{i=0}^k\}.$$

**证明** 根据文献[16]中的引理 2.2.1, 由定义 1 易证引理 1 成立.  $\square$

**定理 1** 考虑系统 (1), 给定标量  $\gamma > 0$  以及正定矩阵  $\Pi(i), i \in [-\bar{d}, 0]$ , 则当且仅当如下不等式成立时,  $J_N^*$  有最小值:

$$\begin{aligned} R_{\tilde{\mathbf{y}}}(k) &> 0, \forall k \in [0, N]; \\ R_{\tilde{z}_m}(k|k) &< 0, \forall k \in [0, N]; \\ R_{\tilde{z}_g}(k+1) &< 0, \forall k \in [-1, N]. \end{aligned} \quad (12)$$

且  $J_N^*$  的最小值可由下式给出:

$$\begin{aligned} \min J_N^* &= \sum_{k=0}^N \tilde{\mathbf{y}}^T(k) R_{\tilde{\mathbf{y}}}^{-1}(k) \tilde{\mathbf{y}}(k) + \\ &\sum_{k=0}^N \tilde{z}_m^T(k|k) R_{\tilde{z}_m}^{-1}(k|k) \tilde{z}_m(k|k) + \\ &\sum_{k=0}^{N+1} \tilde{z}_g^T(k) R_{\tilde{z}_g}^{-1}(k) \tilde{z}_g(k). \end{aligned} \quad (13)$$

其中

$$\begin{aligned} \tilde{\mathbf{y}}(k) &= \mathbf{y}(k) - \hat{\mathbf{y}}(k), \\ \tilde{z}_m(k|k) &= \check{z}_m(k|k) - \hat{z}_m(k|k), \\ \tilde{z}_g(k) &= \check{z}_g(k) - \hat{z}_g(k). \end{aligned} \quad (14)$$

这里:  $\hat{\mathbf{y}}(k)$  可由  $\mathbf{y}(k)$  在

$$\mathcal{L}\{\{\mathbf{y}(i), \check{z}_m(i|i), \check{z}_g(i)\}_{i=0}^{k-1}, \check{z}_g(k)\}$$

上的 Krein 空间投影获得;  $\hat{z}_m(k|k)$  可由  $\check{z}_m(k|k)$  在

$$\mathcal{L}\{\{\mathbf{y}(i), \check{z}_m(i|i), \check{z}_g(i)\}_{i=0}^{k-1}, \check{z}_g(k), \mathbf{y}(k)\}$$

上的 Krein 空间投影获得;  $\hat{z}_g(k+1)$  可由  $\check{z}_g(k+1)$  在  $\mathcal{L}\{\{\mathbf{y}(i), \check{z}_m(i|i), \check{z}_g(i)\}_{i=0}^k\}$  上的 Krein 空间投影获得.

**证明** 首先, 给出如下符号定义:

$$R(k) = \langle \tilde{\mathbf{y}}_z(k), \tilde{\mathbf{y}}_z(k) \rangle, Q_v(k) = \langle \mathbf{v}(k), \mathbf{v}(k) \rangle.$$

$$\begin{aligned} \tilde{\mathbf{y}}_z(k) &= \begin{cases} \check{z}_g(k+1), & k = -1; \\ [ \tilde{\mathbf{y}}^T(k) \quad \check{z}_m^T(k|k) \quad \check{z}_g^T(k+1) ]^T, & k \geq 0. \end{cases} \\ \mathbf{v}(k) &= \begin{cases} \mathbf{v}_g(k+1), & k = -1; \\ [ D_g \mathbf{w}_g^T(k) \quad \mathbf{v}_m^T(k) \quad \mathbf{v}_g^T(k+1) ]^T, & k \geq 0. \end{cases} \end{aligned} \quad (15)$$

由文献[15]可知, 当且仅当  $R(k)$  和  $Q_v(k)$  对于任意的  $k \in [0, N]$  都具有相同的惯性指数时,  $J_N^*$  有最小值, 且可由下式给出:

$$J_N^* = \sum_{k=-1}^N \tilde{\mathbf{y}}_z^T(k) R^{-1}(k) \tilde{\mathbf{y}}_z(k),$$

其中  $\tilde{\mathbf{y}}_z(k)$  可通过由 Hilbert 空间元素代替  $\tilde{\mathbf{y}}_z(k)$  中相应的 Krein 空间元素获得.

进一步, 由定义 1, 引理 1 及式 (15) 可知

$$\begin{aligned} R(k) &= \begin{cases} R_{\tilde{z}_g}(k+1), & k = -1; \\ \text{diag}\{R_{\tilde{\mathbf{y}}}(k), R_{\tilde{z}_m}(k|k), R_{\tilde{z}_g}(k+1)\}, & k \geq 0. \end{cases} \\ Q_v(k) &= \begin{cases} -\beta^{-2}I, & k = -1; \\ \text{diag}\{D_g D_g^T, Q_{v_m}(k), -\beta^{-2}I\}, & k \geq 0. \end{cases} \end{aligned}$$

$$Q_{v_m}(k) = \text{diag}\{-\gamma^2 I, -\alpha^{-2} I\}.$$

因此, 当且仅当式 (12) 成立时,  $J_N^*$  有最小值, 且可由式 (13) 给出.  $\square$

**注 5** 在一般情形下, 利用 Krein 空间方法解决离散系统  $H_\infty$  估计问题时, 需要对新息方差矩阵进行三角分解<sup>[15]</sup>. 当系统存在多个输出通道时, 此类计算往往比较复杂. 而由于式 (13) 中的  $\tilde{\mathbf{y}}(k)$ ,  $\tilde{z}_m(k|k)$  和  $\tilde{z}_g(k)$  互不相关, 无需进行矩阵三角分解计算, 使得在进行  $H_\infty$  估计器设计时, 本文结论较文献[15]更加直观简易.

记

$$\begin{aligned} \mathbf{y}_1(i) &= [ \check{z}_g^T(i) \quad \mathbf{y}^T(i) \quad \check{z}_m^T(i|i) ]^T, \\ \mathbf{y}_2(i) &= [ \check{z}_g^T(i) \quad \mathbf{y}^T(i) ]^T, \mathbf{y}_3(i) = \check{z}_g(i). \end{aligned} \quad (16)$$

**定义 2** 对于  $\forall k \in [0, N]$ ,  $\hat{\mathbf{h}}(k, 1)$  表示变量  $\mathbf{h}(k)$  在  $\mathcal{L}\{\{\mathbf{y}_1(j)\}_{j=0}^{k-1}\}$  上的 Krein 空间投影;  $\hat{\mathbf{h}}(k, 2)$  表示变量  $\mathbf{h}(k)$  在  $\mathcal{L}\{\{\mathbf{y}_1(j)\}_{j=0}^{k-1}, \mathbf{y}_3(k)\}$  上的 Krein 空间投影;  $\hat{\mathbf{h}}(k, 3)$  表示变量  $\mathbf{h}(k)$  在  $\mathcal{L}\{\{\mathbf{y}_1(j)\}_{j=0}^{k-1}, \mathbf{y}_2(k)\}$  上的 Krein 空间投影.

记

$$\begin{aligned} \tilde{\mathbf{y}}_1(i, 1) &= \mathbf{y}_1(i) - \hat{\mathbf{y}}_1(i, 1) \\ R_{\tilde{\mathbf{y}}_1}(i, 1) &= \langle \tilde{\mathbf{y}}_1(i, 1), \tilde{\mathbf{y}}_1(i, 1) \rangle. \end{aligned}$$

显然,  $\{\tilde{\mathbf{y}}_1(i, 1)\}_{i=0}^k$  为新息序列, 且构成的线性空间等价于  $\mathcal{L}\{\{\mathbf{y}_1(i)\}_{j=0}^k\}$ .

根据 Krein 空间投影公式, 给出如下递推计算过程.

1)  $\hat{x}_a(i, 1)$  ( $i \in [0, k]$ ) 可通过下式进行递推计算:

$$\begin{aligned} \hat{x}_a(i+1, 1) &= A_a(i)\hat{x}_a(i, 1) + B_{a,f}f(\check{x}_a(i|i), \mathbf{u}(i)) + \\ &\quad K(i, 1)\tilde{y}_1(i, 1), \\ \hat{x}_a(0, 1) &= 0. \end{aligned} \tag{17}$$

其中

$$\begin{aligned} K(i, 1) &= (A_a(i)P_a(i, 1)C_1^T(i) + B_{a,w}D_1^T)R_{\tilde{y}_1}^{-1}(i, 1), \\ C_1(i) &= [G_a^T(i) \ C_a^T(i) \ L_a^T(i) \ F_a^T(i)]^T, \\ D_1 &= [0 \ D_w^T \ L_w^T \ 0]^T, \\ P_a(i, 1) &= \langle \mathbf{x}_a(i) - \hat{x}_a(i, 1), \mathbf{x}_a(i) - \hat{x}_a(i, 1) \rangle, \\ R_{\tilde{y}_1}(i, 1) &= C_1(i)P_a(i, 1)C_1^T(i) + D_1D_1^T + Q_{v_1}(i), \\ Q_{v_1}(i) &= \text{diag}\{-\beta^{-2}I, D_gD_g^T, -\gamma^2I, -\alpha^{-2}I\}. \end{aligned} \tag{18}$$

这里  $P_a(i, 1)$  ( $i \in [0, k]$ ) 满足如下差分 Riccati 方程:

$$\begin{aligned} P_a(i+1, 1) &= A_a(i)P_a(i, 1)A_a^T(i) + B_{a,w}B_{a,w}^T + \\ &\quad B_{a,f}B_{a,f}^T - K(i, 1)R_{\tilde{y}_1}(i, 1)K^T(i, 1), \\ P_a(0, 1) &= \Pi_a(0). \end{aligned} \tag{19}$$

显然, 由定义 1 和系统 (9) 可知

$$\hat{z}_g(k) = G_a(k)\hat{x}_a(k, 1), \tag{20a}$$

$$R_{\tilde{z}_g}(k) = G_a(k)P_a(k, 1)G_a^T(k) - \beta^{-2}I. \tag{20b}$$

2) 由定义 2 可知,  $\hat{x}_a(k, 2)$  可通过下式进行计算:

$$\hat{x}_a(k, 2) = \hat{x}_a(k, 1) + K(k, 2)\tilde{z}_g(k), \tag{21}$$

其中

$$K(k, 2) = P_a(k, 1)G_a^T(k)R_{\tilde{z}_g}^{-1}(k). \tag{22}$$

于是, 由定义 1, 定义 2 及系统 (9) 可知

$$\hat{y}(k) = C_a(k)\hat{x}_a(k, 2) + D_gg(\check{x}_a(k), \mathbf{u}(k)), \tag{23a}$$

$$\begin{aligned} R_{\tilde{y}}(k) &= C_a(k)P_a(k, 1)C_a^T(k) + D_wD_w^T + D_gD_g^T - \\ &\quad C_a(k)K(k, 2)R_{\tilde{z}_g}(k)K^T(k, 2)C_a^T(k). \end{aligned} \tag{23b}$$

3) 同理,  $\hat{x}_a(k, 3)$  可通过下式计算:

$$\hat{x}_a(k, 3) = \hat{x}_a(k, 1) + K(k, 3)\tilde{y}_2(k). \tag{24}$$

其中

$$\begin{aligned} K(k, 3) &= P_a(k, 1)C_2^T(k)R_{\tilde{y}_2}^{-1}(k), \\ \tilde{y}_2(k) &= \mathbf{y}_2(k) - \hat{y}_2(k, 1), \\ R_{\tilde{y}_2}(k) &= \langle \tilde{y}_2(k), \tilde{y}_2(k) \rangle = \\ &\quad C_2(k)P_a(k, 1)C_2^T(k) + D_2D_2^T + Q_{v_2}(k), \\ C_2(k) &= [G_a^T(k) \ C_a^T(k)]^T, \ D_2 = [0 \ D_w^T]^T, \\ Q_{v_2}(k) &= \text{diag}\{-\beta^{-2}I, D_gD_g^T\}. \end{aligned} \tag{25}$$

进一步,  $\hat{w}(k, 3)$  可通过下式计算:

$$\hat{w}(k, 3) = D_2^T R_{\tilde{y}_2}^{-1}(k)\tilde{y}_2(k). \tag{26}$$

于是, 根据定义 1, 定义 2 及式 (10) 可知

$$\hat{z}_m(k|k) = L_m(k)\hat{x}_a(k, 3) + L_{m,w}\hat{w}(k, 3), \tag{27a}$$

$$\begin{aligned} R_{\tilde{z}_m}(k|k) &= L_m(k)P_a(k, 1)L_m^T(k) + Q_{v_m}(k) + \\ &\quad L_{m,w}L_{m,w}^T - \bar{K}(k, 3)R_{\tilde{y}_2}(k)\bar{K}^T(k, 3), \end{aligned} \tag{27b}$$

$$\bar{K}(k, 3) = L_m(k)K(k, 3) + L_{m,w}D_2^T R_{\tilde{y}_2}^{-1}(k), \tag{27c}$$

$$Q_{v_m}(k) = \text{diag}\{-\gamma^2I, -\alpha^{-2}I\}. \tag{27d}$$

根据上述分析, 可得如下定理:

**定理 2** 考虑系统 (1) 和 Lipschitz 非线性条件 (2), 给定标量  $\gamma > 0$  和正定矩阵  $\Pi(i)$ ,  $i \in [-\bar{d}, 0]$ . 当如下条件成立时, 满足性能指标 (3) 的  $H_\infty$  估计器存在:

$$\begin{aligned} R_{\tilde{y}}(k) &> 0, \ \forall k \in [0, N]; \\ R_{\tilde{z}_m}(k|k) &< 0, \ \forall k \in [0, N]; \\ R_{\tilde{z}_g}(k+1) &< 0, \ \forall k \in [-1, N]. \end{aligned} \tag{28}$$

其中:  $R_{\tilde{y}}(k)$ ,  $R_{\tilde{z}_m}(k|k)$  和  $R_{\tilde{z}_g}(k+1)$  可分别由式 (23b), (27b) 和 (20b) 计算. 此时, 一个可接受的  $\gamma > 0$  水平  $H_\infty$  估计器可由下式给出:

$$\hat{z}(k|k) = E\hat{z}_m(k|k), \tag{29}$$

其中:  $E = [I \ 0]$ ,  $\hat{z}_m(k|k)$  可由式 (27a) 计算.

**证明** 由定理 1 可知, 当且仅当式 (12) 成立时,  $J_N^*$  有最小值, 且最小值由式 (13) 给出. 注意到, 任意满足  $J_N^*$  的估计器都是一个可接受的  $\gamma > 0$  水平  $H_\infty$  估计器. 因此, 本文可令  $\check{z}_m(k|k) = \hat{z}_m(k|k)$  和  $\check{z}_g(k) = \hat{z}_g(k)$ , 由此得到一个满足性能指标 (3) 的  $H_\infty$  估计器.  $\square$

## 4 算 例

考虑系统 (1), 各参数矩阵分别为

$$A = \begin{bmatrix} 0.7 & 0 \\ 0 & 0.2 \end{bmatrix}, \ A_d = \begin{bmatrix} -0.1 & 0 \\ 0 & 0.3 \end{bmatrix},$$

$$B_w = [0.9 \ 1.4]^T, \ B_f = [0.8 \ 0]^T,$$

$$C = [1.2 \ 0.5], \ C_d = [-0.3 \ 0.2],$$

$$D_g = 0.5, \ D_w = 0.7, \ L = [0 \ 0.9],$$

$$L_d = [0.7 \ 0], \ L_w = 0.4, \ F = [-0.1 \ 0.2],$$

$$F_d = [0.4 \ 0], \ G = [0.1 \ 0], \ G_d = [0.5 \ 0.3].$$

令

$$f(x(k), x(k_d(k)), u(k)) = \sin(Fx(k) + F_dx(k_d(k))),$$

$$g(x(k), x(k_d(k)), u(k)) = \cos(Gx(k) + G_dx(k_d(k))).$$

于是有  $\alpha = 1, \beta = 1$ . 假设时变时滞

$$d(k) = \text{sgn}(\sin k) + 2,$$

显然有  $d(k) \in [1, 3]$ . 取  $\gamma = 2$ , 初值及其估计为

$$\varphi(\theta) = [-0.2\theta \quad 0.1\theta]^T, \quad \check{\varphi}(\theta) = [0 \quad 0]^T,$$

其中  $\theta \in [-3, 0]$ . 扰动  $w(k)$  是能量为 0.01 的白噪声信号, 如图 1 所示.

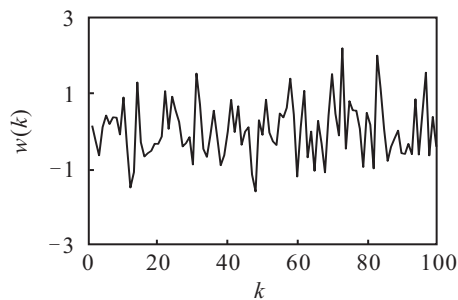


图 1 外部扰动  $w(k)$

本例将对本文所提出的算法与文献[15]中的 Krein 空间线性估计方法进行仿真比较. 由于[15]中算法仅针对线性系统, 在应用该算法时, 本文将系统(5)中的非线性项  $f(x_a(k), u(k))$  和  $g(x_a(k), u(k))$  作为扰动输入项. 图 2 给出了信号  $z(k)$ 、本文算法和文献[15]中算法对  $z(k)$  的估计; 图 3 给出了本文算法对  $z(k)$  的估计误差绝对值  $|e_a(k)|$  和文献[15]中算法对  $z(k)$  的估计误差绝对值  $|e_b(k)|$ . 由图 2 和图 3 可知, 对于离散时间 Lipschitz 非线性系统, 本文算法较[15]中算法具有更准确的估计性能.

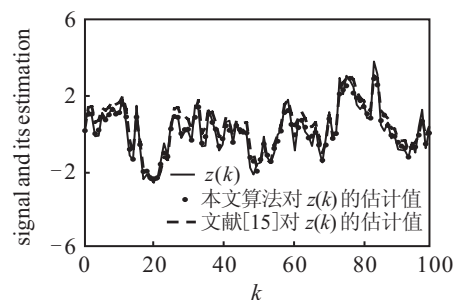


图 2 信号  $z(k)$  和两种算法对  $z(k)$  的估计

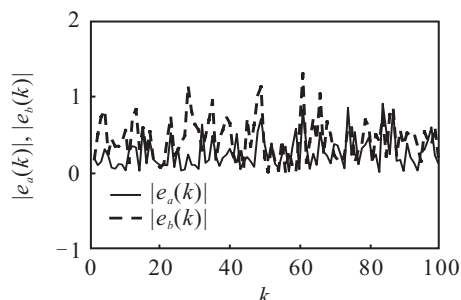


图 3 两种算法对  $z(k)$  的估计误差绝对值  $|e_a(k)|$  与  $|e_b(k)|$

矩阵  $R_{\check{y}}(k)$ ,  $R_{\check{z}_g}(k)$  和  $R_{\check{z}_m}(k|k)$  的特征值如图 4 所示. 其中:  $R_{\check{y}}(k)$  的特征值为 Ry,  $R_{\check{z}_g}(k)$  的特征值为 Rzg,  $R_{\check{z}_m}(k|k)$  的特征值为 Rzm1 和 Rzm2. 由图 4 可知, 当  $\gamma = 2$  时, 本文所设计的估计器满足定理 2 中条件(28).

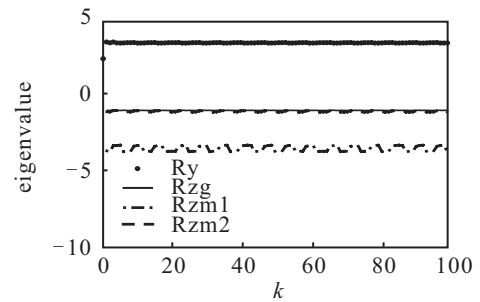


图 4 3 个矩阵的特征值

## 5 结 论

本文针对一类离散时间 Lipschitz 非线性时变时滞系统, 提出一种  $H_\infty$  估计方法. 该方法是对 Krein 空间线性估计理论<sup>[15]</sup>的进一步改进和应用. 通过状态扩展方法和引入 Kronecker delta 函数, 将时变时滞系统等价为具有时变参数的无时滞系统. 利用  $H_\infty$  性能指标和 Lipschitz 非线性条件, 将 Lipschitz 非线性系统  $H_\infty$  估计问题转化为 Krein 空间具有多个虚拟输出的随机系统  $H_2$  估计问题. 基于新息分析和投影公式, 得到估计器存在的充分条件和基于 Riccati 方程的估计器递推公式. 所设计的估计器是递推的, 可实现在线计算, 便于工程应用.

## 参考文献(References)

- [1] Thau F E. Observing the state of non-linear dynamic systems[J]. Int J of Control, 1973, 17(3): 471-479.
- [2] Reif K, Sonnemann F, Unbehauen R. An EKF-based nonlinear observer with a prescribed degree of stability[J]. Automatica, 1998, 34(9): 1119-1123.
- [3] Zhang J, Feng G, Xu H B. Observer design for nonlinear discrete-time systems: Immersion and dynamic observer error linearization techniques[J]. Int J of Robust and Nonlinear Control, 2010, 20(5): 504-514.
- [4] Kravaris C, Sotiropoulos V, Georgiou C, et al. Nonlinear observer design for state and disturbance estimation[J]. Systems & Control Letters, 2007, 56(11/12): 730-735.
- [5] Raoufi R, Marquez H J, Zinober A S I.  $H_\infty$  sliding mode observers for uncertain nonlinear Lipschitz systems with fault estimation synthesis[J]. Int J of Robust and Nonlinear Control, 2010, 20(16): 1785-1801.
- [6] Abbaszadeh M, Marquez H J. Dynamical robust  $H_\infty$  filtering for nonlinear uncertain systems: An LMI approach[J]. J of the Franklin Institute, 2010, 347(7): 1227-1241.
- [7] 刘艳红, 李春文, 王玉振, 等. Lipschitz 广义非线性系统观测器设计[J]. 控制理论与应用, 2007, 24(2): 205-209. (Liu Y H, Li C W, Wang Y Z, et al. Observer design for Lipschitz nonlinear singular systems[J]. Control Theory & Applications, 2007, 24(2): 205-209.)

(下转第1632页)